

بررسی زئولیت‌های بادامکی و رگه‌ای منطقه‌های سیاه کوه، دوازده‌امام و اراده در بخش شمالی ایران مرکزی

کمال الدین بازرگانی گیلانی: گروه زمین‌شناسی، دانشکده علوم، دانشگاه تهران

محمد صادق رباني: گروه شیمی، دانشکده علوم، دانشگاه تهران

چکیده

ساختهای صحراء و آبرسانگاهی شناخته شده است که زئولیت‌های موجود در سنگهای ایونی بالای واقع در سه سطنه سیاه کوه، دوازده‌امام و اراده در حوض سلطنتی ایوان سرخی دارای ساختهای ساده، زئولیت‌ها را دیگر کائی خانی همراه، عده‌نهاده سنگهای آندزیتی و پارائیتی و قله سمعته سدی سمحانی بافت می‌دانند. زئولیت‌ها و کائی‌های همراه به زئولیت اولویت تشکیل، بدون درنظر گرفتن توزیع با فراوانی هر یک از کائی‌ها، عبارتند از: اسکلیپ و ساکلیپ، ناسوتیت، آلامسیت، نتراتولیت، ناترولیت، سرولیت، استیلت، اسکولیت، کلیست، اوپال، کوارتز و بیروفلوریت. تشکیل زئولیت‌ها و سارکائی‌های همراه در میان طبقه مورد مطالعه در شرایط گرمایی (هیدروترمال) امرا حل تأثیری صورت گرفته است. به بطری می‌رسد که گستره دماهی تشکیل این نوع زئولیت‌ها از اراده به سوی دوازده‌امام تا سیاه کوه به تدریج کاهش یافته است. تغونه خالصی از ناترولیت در سیاه کوه: سافت سد، که برگشت آن بر مسای ۸۱۴ اکسیژن به صورت $(\text{Si}_{24.20}\text{Al}_{15.80}\text{Fe}_{0.40})\text{O}_{80.16}\cdot 82\text{H}_2\text{O}$ ($\text{Na}_{15.5}$) است.

واژه‌های کلیدی: آلامسیت، اراده، ایوان سرخی، دوازده‌امام، گرگانی، ناترولیت، سیاه کوه، اسکلیپ، زئولیت

Study of amygdaloidal and cavity zeolites of Siah Kuh, Davazdah Emam and Aradeh Mountain, north of Central Iran

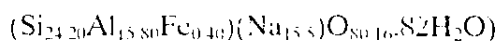
Bazargani-Guilani: Department of Geology, Faculty of Science, Tehran University, Tehran-Iran

M.S. Rabbani: Department of Chemistry, Faculty of Science, Tehran University, Tehran-Iran

E-mail: mrabbani@chamran.ut.ac.ir

Abstract

Laboratory and field evidences showed that the zeolites of upper Eocene rocks of the title localities have relatively similar structures and textures. The zeolites and other associated minerals are found in andesitic and basaltic rocks without any apparent zoning. The zeolites and other associated minerals, regardless of their relative abundances or number of different species in each region, sequentially are: smectite and/or calcite, thomsonite, analcime, tetratnatrolite, natrolite, mesolite, stilbite, scolecite, calcite, opal, quartz and pyrolusite. They are formed in the late hydrothermal stage. The heat expanse of the zeolite formation from Aradeh towards Davazdah Emam till Siah Kuh has been reduced gradually. A relatively pure natrolite sample was found in Siah Kuh, only. Chemical analysis of the natrolite sample was compared with those of other regions. The formula, based on 80 oxygen atoms, is:



۱- مقدمه

۱۱.۱۴ | در چند گزارش، رئولیت‌ها به صورت منطقه‌بندی^(۱)

عرضه شده‌اند | ۱۰.۶۰ | ۱۰.۶۱ | در گزارش حاضر سنگهای زئولیت‌دار و ترکیب شیمیایی تعداد مشخصی از آنها در سه ناحیه برگزیده مورد بررسی قرار گرفته و برای تحسین بار درباره تنوع زئولیت‌ها، ناوتخه به دامنه دمای تشکیل آنها در هر منطقه، اظهارنظر شده است.

۲- مشاهدات صحرایی**۲-۱- زمین‌شناسی بخش شمال ایران مرکزی**

در دو حزیرکبر نامه و یونس بالکوس خنثش‌های فارلاری سب چس خورده‌گشی و لای آمدگشی در ایران مرکزی شده است. صاصن شمنی ایوان برکری از جمله سباد کوه تاکوهه اراده در اتوس به صورت حوضه‌رسوبی فراز زمین^(۳) و فروز زمین^(۴) در آمده و بازشدگی و گسترش آنها با فعالیت‌های آتششانی همراه بوده است | ۱۱ |

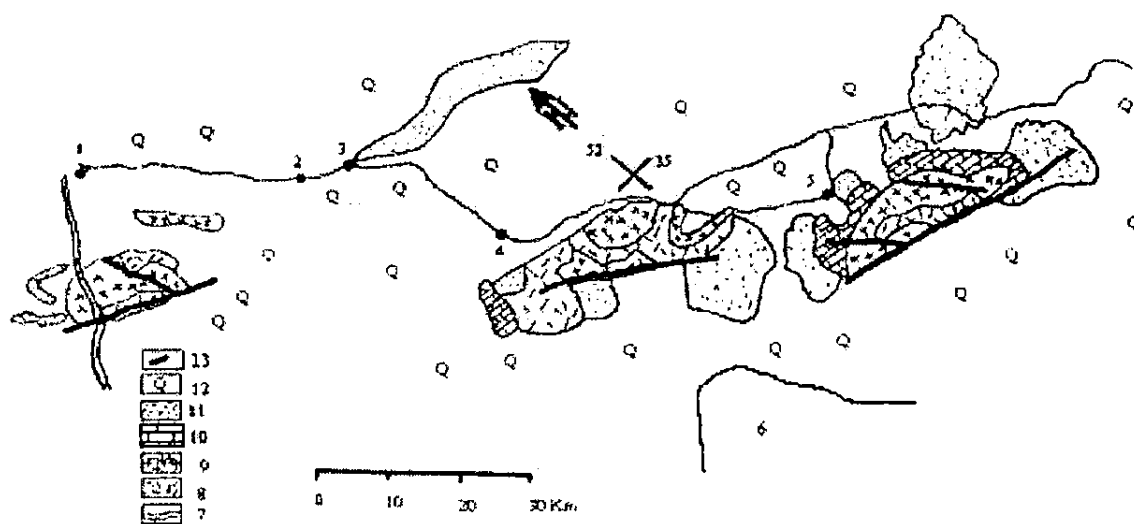
۲-۲- زمین‌شناسی مناطق مورد مطالعه

سه منطقه مورد مطالعه با پیشینه زمین‌شناسی تقریباً مشابه عمارتند از کوه اراده در حنوب کهریزک (حنوب تهران) کوه دوازده‌امام در حنوب ورامیں (شمال دریاچه نمک) و سیاه کوه در شرق و شمال شرق در زمانه سک (شکل ۱). توانی‌های آتششانی این مناطق که زمان تشکیل آنها یکی است در شرایط زمین‌ساختی و زمین‌ساختی تقریباً مشابه شکل گرفته‌اند. پس از فاز لارامی، دریای اتوس در این مناطق گسترش یافته و سنگهای آتششانی - رسوبی به ضخامت زیاد بهای گذاشته است که عمدتاً ترکیب اسیدی داشته و طی دوره اتوس پسین سنگهای آتششانی با ضخامت تسبیز زیاد و با ترکیب‌های مختلف (بازی، اسیدی) در این مناطق گسیرده شده‌اند و سرانجام در اواخر این دوره فعالیت آتششانی اولکایسم (پاروند شوشویتی خانمه) می‌باشد | ۱۱ |

زنولیتها دسته‌ای از کانیهای مشتمل از آلومینیو سیلیکات‌های حفره‌دارند که در این حفره‌ها مولکول‌های آب و کاتیون‌های متفاوتی مانند لیتیوم، سدیوم، پاتاسیوم، کلسیوم، میزیوم، استرنسیوم، باریوم، همچنین منگنز و آهن به مقدار محدودتری جای دارند. زئولیت‌ها به سبب سهولت تبادل کاتیون‌های مربوط شاخص بوده و به جهت پایداری حرارتی نسبتاً بالا، دارابودن حفره‌هایی به اندازه‌های معین و شکلهای مشخص و قابلیت گردشی تبادل یون، مصارف متعدد و متعددی در صنعت، کشاورزی، خوراک دام و طیور، حناخت سحط ریست، مصالح ساختمانی وغیره دارند. زئولیت‌های مورد مطالعه در این پژوهش از کانی‌های عمومی و عادی و غیر رسوبی پوسته زمین می‌باشند که در شرایط گرمابی مراحل پایانی و یا در نتیجه گرسانی^(۱) در حفره‌ها و رگه‌های سنگهای آتششانی تشکیل شده‌اند. این کانی‌ها در بخش شمالی ایران مرکزی در پیرون زدگی‌های سنگهای آتششانی دوران سوم به صورت پادامک یا رگه و در موارد نادری به صورت جانشینی کانیهای اولیه یافت می‌شوند. سنگهای زئولیت‌دار کوههای اراده، دوازده‌امام و سیاه کوه عمدتاً آندزیت‌ها و بازالت‌ها و به مقدار بسیار کمتری سنگهای آتششانی دیگر می‌باشند.

حجازی و قربانی به زئولیت‌های سنگهای آتششانی بخش شمالی ایران مرکزی اشاره کرده‌اند | ۱۴ |؛ زئولیت‌های منطقه کهریزک واقع در این بخش به توسط نویسنده‌گان این مقاله مورد بررسی قرار گرفته است | ۱۲ |.

محققان بسیاری درباره زئولیت‌های موجود در حفره‌ها و رگه‌های سنگهای آتششانی مطالعه کرده‌اند و بیشتر آنان زئولیت‌ها را در بازالت‌ها یافته‌اند | ۱۳، ۱۴، ۱۵، ۱۶، ۱۷، ۱۸، ۱۹، ۲۰، ۲۱، ۲۲، ۲۳، ۲۴، ۲۵ |؛ معدودی از محققان زئولیت‌های موجود در آندزیت‌ها را گزارش داده‌اند | ۲۶، ۲۷، ۲۸ |؛ تعدادی از پژوهندگان هم تجمع کانی‌های زئولیتی و کانی‌های ثانویه دیگر را در انواع سنگهای بازالتی و آندزیتی موجود در محیط‌های زمین‌شناسی تقریباً مشابه مورد مطالعه قرار داده‌اند | ۲۹، ۳۰ |.



شکل ۱- ساده سده از نقشه یک ملی مس سازی شرکت ملی نفت ایران، پیروز زدگهای سنگهای آتششانی و پیروکلاسیک (الوسن)، به ترتیب از چپ به راست، کوههای اراده، دوازده امام و ساه کوده. ۱- شهر زری، ۲- ورامین، ۳- بیشو، ۴- پاسگاه مبارکه، ۵- کاروانسرای شاه عباسی (قلعه بهرام)، ۶- دریاچه نمک، ۷- جاده قدیم نهران- قم، ۸- سروکلاست (الوسن)، ۹- گندازه (الوسن)، ۱۰- الیگوروس، ۱۱- نوزن، ۱۲- کواتربن، ۱۳- گل-

نقاط به صورت هوازده و به رنگ‌های کرم تا قهوه‌ای روش دیده می‌شود. بخش وسیعی از کوه اراده از همین سنگها تشکیل شده که شبیه متوسط آن تقریباً ۱۵ درجه به طرف غرب است.

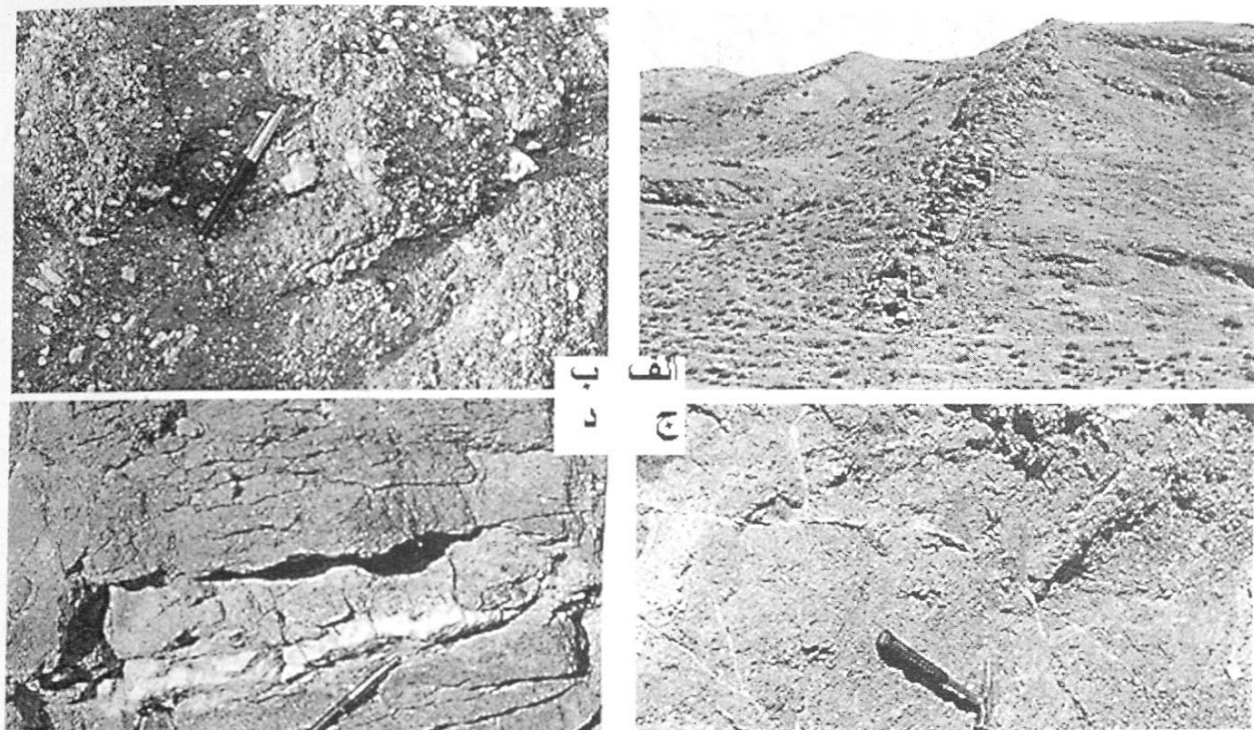
ب- دوازده امام: سنگهای آتششانی و زمین‌شناختی دوازده امام به توسط Hajian و امامی [۱۹] و [۱] مطالعه شده است. بررسی‌های حسینی [۵] در دوازده امام نشان می‌دهد که سری سیز تختانی مستقیماً زیر سنگهای آتششانی فوکانی قرار گرفته است. این سنگها از نوع الیوین بازالت. آندزیت بازالتی، تراکی اندزیت، تفری فولیت، تراکی بازالت، توف، توفیت و ایگنسیت هستند. ضخامت سنگهای آتششانی این منطقه در پاره‌ای از نقاط به بیش از ۵۰۰ متر می‌رسد. زئولیت‌ها بیشتر در تراکی بازالت، بازالتیک تراکی بازالت و تفری فولیت یافت می‌شوند. لازم به یادآوری است که در کوه دوازده امام کانی آمالسیم به صورت اولیه و دوّتیریک^(۶) در بستر سنگ آتششانی نیز یافت می‌شود.

الف- کوه اراده: زمین‌شناسی منطقه اراده به توسط رضوی Rieben, (۱۹۵۵) و Hajian (۱۹۷۲) مطالعه شده است [۲۲، ۶ و ۱۹]. سنگهای آتششانی اوسن این منطقه به وسیله دیواره‌های^(۵) متعددی (شکل ۲-الف) با ترکیب اسیدی- بازی در راستاهای متقاول قصع شده است. این سنگها از بالا به پائین و از جدید به قدیم دارای توالی زیر است:

- ۱- توده‌های سنگی با ضخامت بیش از ۵۰ متر آندزیت‌های پیروکلسن دار، داسیت، تراکیت و آندزیت بازالت با دگرسانی اندک به رنگ‌های خاکستری، قهوه‌ای روش تا قهوه‌ای تیره.
- ۲- توده‌هایی به ضخامت تقریباً ۱۳۰ متر آندزیت‌ها و بازالت‌های زئولیت‌دار و آگلومرای آندزیتی - بازالتی با دگرسانی شدید به رنگ‌های خاکستری تیره، خاکستری متمایل به قهوه‌ای و سیز، زئولیت‌ها در یادآوری خردناک‌ها و خردناکی به ابعاد از چند میلی متر تا ۲۰ سانتی متر (شکل ۲-ب) و رگه‌هایی به ضخامت ۵-۱۵ سانتی متر و به طول حداقل دو متر که گاهی تا ۱۵ درصد سنگ بستر را تشکیل می‌دهند (شکل ۲-ج و د).
- ۳- لایه‌ای به ضخامت حدود ۳۰۰ متر از توپهای داسیتی نانزیتی با رنگ‌های سفید، خاکستری تا سرکه در عصی

۵- dyke (dike)

۶- deuterite



شکل ۲-الف: تعدادی از دیواره‌های واقع در حدود یک کیلومتری غرب جاده تهران - قم، ضخامت دیواره وسط، که به سوی یال کوه امتداد یافته است به ۳ متر هم می‌رسد. ب: درست چپ عکس زئولیت‌های بادامکی به شکلها و اندازه‌های مختلف و در وسط یک نمونه ناتروزئولیت اسنفولیتی دیده می‌شود (غرب کوه اراده).
ج: رگه‌ها و رگجه‌های پرشده از زئولیت با ابعاد مختلف، بادامک‌های زئولیت دار به ابعاد بسیار کوچک در کل بستر پراکنده است (شرق کوه اراده).
د: یک رگه از زئولیت به ضخامت بیش از ۵ سانتیمتر به طول بیش از ۵۰ سانتیمتر (یک کیلومتری شرق جاده تهران - قم).

ترکیب سنگهای آتشفسانی کوه اراده بیشتر الکالن پتاسیک و گاه کالکو آلکالن غنی از پتاسیوم است. در کوههای دوازده‌امام و سیاه کوه ماگما‌تیسم ائوس بیشتر آلکالن پتاسیک غنی از پتاسیوم و کمتر کالکو آلکالن است [۷].

۳- نمونه برداری و روش‌های آزمایشگاهی
بیش از ۱۰۰ نمونه سنگ زئولیت دار برای تشخیص نوع سنگ میزان، کانی‌های زئولیتی و دگر کانی‌های همراه از سه منطقه مورد بررسی برداشت شد. ۳۵ نمونه به پودر نرم تبدیل و به وسیله روش پراش پرتو ایکس، با استفاده از تشعشع $\text{CuK}-\alpha$ شناسایی شدند. حدود ۴۰ مقطع نازک و ۳ مقطع صیقلی برای تشخیص سنگها و کانی‌های دیگر به وسیله میکروسکوپ قطبینده

ج - سیاه کوه: سنگهای آتشفسانی و زمین شناختی سیاه کوه به توسعه بنی طباء بیدگلی [۲] و امامی [۱] مطالعه شده‌اند. سیاه کوه به صورت تاقدیسی است که هسته آن از توفها و توفیت‌هایی به رنگ سفید با ترکیب ریولیتی تشکیل یافته است. روی این هسته را به طور کلی سنگهای آتشفسانی از نوع اندرزیت، تراکنی اندرزیت، اندرزیت بازالتی، ایگنمبریت با ترکیب ریولیتی تاداوسیتی پوشانده است. ضخامت سنگهای آتشفسانی در این منطقه بیش از ۴۰۰ متر است. مقدار زئولیت‌ها در سنگهای تراکنی اندرزیت، که در فاصله تقریباً ۱۰ کیلومتری جنوب کاروانسرای شاه عباسی (قلعه بهرام) واقعند، نسبت به کوههای اراده و دوازده‌امام بسیار کمتر است. در غرب سیاه کوه یک توده نفوذی با ترکیب اسیدی نیز وجود دارد.



چند سانتیمتر درون حفره‌ها یافت می‌شوند. بادامک‌ها و حفره‌ها رگه‌ها در هر منطقه حتی در یک نمونه منفرد، ممکن است از یک یا چند کانی متفاوت پر شده باشند. گرچه تشکیل یک کانی (آنالسیم به عنوان مثال) در یک بادامک، تشکیل ناتروولیت و / یا ترانتروولیت در بادامکی دیگر و حتی تشکیل مجموعه‌ای از کانی‌های همراه در نمونه‌ها ممکن است به علت حساسیت زئولیت‌زایی در اثر تغییرات جزئی شرایط فیزیکی و / یا شیمیایی محلولها و مواد آغاز کننده^(۹) باشد [۲۶ و ۳۴]، با وجود این، تنابوب تشکیل کلی کانی‌های ثانویه موجود در یک منطقه عموماً بدون تغییر می‌ماند. بنابراین به نظر می‌رسد که ترتیب تشکیل کانی‌های ثانویه تابع عواملی به ویژه تغییرات دما باشد. عموماً نخستین کلسیت، تامسونیت، آنالسیم و / یا ترانتروولیت در دمای بالا، استیلیت و / یا اسکولولیت در دمای متوسط و دومین کلسیت، کوارتر و پیرولوزیت در دمای پایین، حفره‌ها و بادامک‌ها را پر می‌کند.

زئولیت‌ها و کانی‌های همراه در بادامک‌ها متنوع ترند. در حالیکه آنها در رگه‌ها تنوع کمتری دارند و تشخیص تناوبشان آسان‌تر است. زئولیت‌های موجود در هر یک از سه منطقه مورد مطالعه به لحاظ ردیف تشکیل و یا میزان فراوانی با یکدیگر متفاوتند. بنابراین، زئولیت‌های هر سه منطقه به شرح زیر (به ترتیب حروف الفبا) مقایسه شده‌اند.

آنالسیم

آنالسیم با بلورهای خود شکل گرفته^(۱۰) که هر یک از پهلوهای آنها ذوزنقه^(۱۱) است در کوههای اراده و دوازده‌امام یافت می‌شود. این کانی علاوه بر پرشدگی بادامکی به صورت کانی اویلیه یا دوتیریک و خود شکل گرفته سنگ‌ساز در تفری فونولیت خاکستری رنگ متمایل به زرد در کوه دوازده‌امام نیز دیده شده است. آنالسیم در بادامک‌ها عموماً ریز و کوچک است و حداقل به قطر ۳ میلی‌متر می‌رسد. در حالیکه آنالسیم‌های

(پلاریزان) مورد بررسی قرار گرفتند. سپس ۵ نمونه از سنگ‌های زئولیت‌دار کوه دوازده‌امام و سیاه‌کوه و یک نمونه ناتروولیت خالص از منطقه سیاه‌کوه مورد تجزیه شیمیایی مرطوب قرار گرفته و دو نمونه از کانیهای زئولیتی و دو نمونه از کانیهای غیر زئولیتی کوه دوازده‌امام به روش «الکترون میکروپریوپ» تجزیه عنصری شده‌اند. آب نمونه زئولیتی به روش حرارتی تعیین شده و تشخیص و نامگذاری سنگ‌ها عمدها بر مبنای تجزیه شیمیایی و تقسیم‌بندی‌های Le Bas و همکاران^(۱۲) انجام گرفته است.

۳-۱- انشاست زئولیت‌ها و سایر کانی‌های ثانویه همراه
بسیاری از زئولیت‌ها و سایر کانی‌های ثانویه در مناطق مورد مطالعه و در نواحی دگرسان شده به شکل‌های زیر وجود دارند:
الف - پرشدگی حفره‌ها و بادامک‌ها
ب - رگه‌ای و پرشدگی شکستگی‌ها
ج - جانشینی درشت بلورهای پلاژیوکلاز
د - در سیمان برش‌ها^(۱۳) (به ندرت)

شکلهای زئولیتی نوع الف و ب در منطقه مورد مطالعه فراوان‌ترند، بنابراین تنها به توضیح این نوع زئولیتها پرداخته می‌شود:

بلورهای زئولیتی بیشتر در مرکز حفره‌ها و بادامک‌ها و کمتر در رگه‌های سنگ‌های آتشفسانی سه منطقه مورد مطالعه یافت می‌شوند. حفره‌ها اغلب بیضوی و کروی شکلند، برخی هم دارای شکلهای نامشخص، جدا از هم یا بهم پیوسته‌اند. ابعاد آن‌ها از حدود میلی‌متر تا ۲۰ سانتی‌متر متغیر بوده و عموماً با زئولیت‌ها و دیگر کانی‌های همراه پرشده‌اند. حفره بدون کانی بسیار کم دیده می‌شود، دیواره حفره‌ها اغلب بالایه‌ای از کلسیت و / یا اسکلتیت به صخامت حداقل ۲ میلی‌متر پوشیده شده و باقی مانده آنها با انواع زئولیت‌ها پرشده است. رشد بلورهای زئولیتی درون حفره در جهات مختلف یکسان است اما لایه‌ای به صخامت نسبتاً غیریکنواخت به سوی مرکز حفره ایجاد می‌شود. و در مواردی هم زئولیت‌ها بخش زیرین حفره‌ها را فرا می‌گیرند. گاهی هم زئولیت‌های سوزنی و رشته‌ای ظریف باریک و بلند^(۱۴) به طول

v- breccia

۸- fine large

۹- starting material

۱۰- automorphous

۱۱- trapesohedron



این کانی همچنین به صورت شعاعی و تیغه‌ای ظریف به رنگ سفید در کوه اراده دیده شده است. تراناترولیت از کانی‌هایی است که تشکیل آن صرفاً گرمابی است [۱۷].

مزولیت:

مزولیت در کوه اراده به ویژه در دو طرف جاده قدیم تهران - قم فراوان است. این نوع زئولیت به شکل میله‌هایی به طول حداقل ۴ سانتی‌متر و به ضخامت یک میلی‌متر قابل تشخیص است. بلورهای ریز آن در زیر میکرو‌سکوپ همراه کانی‌های ناترولیت و تراناترولیت به خوبی شناخته شده است. در مواردی هم اسکولیت «هم رشد» با مزولیت دیده شده است. در کوه دوازده‌امام و سیاه‌کوه مزولیت سیار کم یافت شده است.

نانترولیت.

ناترولیت غالب به صورت بلورهای مشوزی یا سوزنی سفیدرنگ در کوه اراده و سیاه‌کوه یافت شده است. در بیشتر موارد به همراه تراناترولیت به صورت شعاعی و اسفلولیتی در رگه‌ها و بادامک‌ها رشد کرده است (شکل ۲ - ب، ج، د). طول بلور آن متغیر بوده و به یک سانتی‌متر هم می‌رسد. ناترولیت سوزنی شکل باریک و بلند به هم فشرده با جلای ابریشمی و به رنگ سفید با فراوانی کمتر مشاهده شده است. این نوع ناترولیت که گاه به صورت نافرشده و شکننده به رنگ زرد متمایل به قهوه‌ای در مرکز رگه‌ها یافت می‌شود، تنها در تعدادی از نمونه‌های کوه دوازده‌امام دیده شده است. ناترولیت فراوان‌ترین نوع زئولیت منطقه سیاه‌کوه را تشکیل می‌دهد.

۳-۲- تجزیه شیمیائی کانی‌ها

تجزیه شیمیایی بعضی از کانی‌های موجود در حفره‌ها و رگه‌ها را می‌توان برای پی بردن به پیدایش^(۱۲) زئولیت‌ها بکار برداشت. برای این منظور، از میان این کانی‌ها آنالسیم، اسکلتیت و ناترولیت انتخاب شده‌اند و نتایج بررسیهای به عمل آمده در مقایسه با تجزیه و تحلیل نمونه‌های سایر مناطق جهان عرضه می‌شود. دو نمونه از آنالسیم‌های کوه دوازده‌امام به روش

اولیه و دوتربیک کوه دوازده‌امام تا قطر ۳ سانتی‌متر نیز دیده شده‌اند. آنالسیم در اندکی از نمونه‌های سیاه‌کوه هم دیده شده است.

اسکولیت:

اسکولیت در نمونه‌های برداشت شده از کوه اراده و به مقدار بسیار کم در نمونه‌های کوه دوازده‌امام دیده شده است. اما در هیچیک از نمونه‌های مورد مطالعه سیاه‌کوه تشخیص داده نشده است.

استیلیت:

استیلیت در بالاترین قسمت زئولیت‌دار کوه اراده، دو طرف جاده قدیم تهران - قم و به مقدار فراوان‌تر در بخش‌های مرکزی کوه اراده به صورت تیغه‌ای به طول تا ۲ سانتی‌متر و به رنگهای سفید و صورتی کم‌رنگ، و همچنین به مقدار کمتر در غرب کوه اراده یافت می‌شود. استیلیت به صورت رگه‌ای همراه با کلسیت، در مرکز و دیواره رگه‌ها نیز دیده می‌شود. استیلیت در بادامک‌ها، بعد از ناترولیت، تراناترولیت، آنالسیم و مزولیت و اغلب در مرکز آنها تشکیل شده است. تنها یک نمونه از استیلیت اسفلولیتی با قطر ۳ سانتی‌متر در شرق کوه اراده به علت آغشته‌گی با پیرولوزیت به رنگ متمایل به سیاه یافت شده است. استیلیت در منطقه دوازده‌امام کمتر یافت شده و در سیاه‌کوه این نوع زئولیت دیده نشده است.

تامسونیت:

تامسونیت بیشتر با ناترولیت و در موارد کمتری با تراناترولیت و آنالسیم، تنها در کوه دوازده‌امام دیده شده است. بلورهای آن اغلب سوزنی و تیغه‌ای به طول یک سانتی‌متر بوده و به صورت اسفلولیتی به رنگ صورتی می‌باشد. اسفلولیت‌ها در بعضی از موارد صورت منطقه‌بندی از خود نشان می‌دهند. تشکیل آن قبل از آنالسیم، تراناترولیت و ناترولیت صورت گرفته است.

تراناترولیت:

تراناترولیت با بلورهای سفید رنگ رشدی در هر سه منطقه مورد مطالعه همراه با ناترولیت قابل دسترسی است. فراوانی آن در کوه دوازده‌امام و سیاه‌کوه کمتر از ناترولیت است. تراناترولیت با رشتلهای ظریف همراه ناترولیت در کوه اراده یافت شده است.



در محیط قلایی نمکی دارای مقادیر سیلیکون بالاتری نسبت به آنالسیم‌های گرمابی می‌باشد [۲۹]. بنابراین، طبق پیش‌داده‌های این پژوهش گران و تجزیه شیمیایی آنالسیم کوه دوازده‌امام، گرمابی بودن آن تائید می‌شود.

تعدادی از کانی‌های غیر زئولیتی نیز در منطقه اراده مورد بررسی قرار گرفته است [۲]. اسمکتیت از کانی‌های غیر زئولیتی حفره‌ها و بادامک‌ها و رگه‌ها است که در کوه دوازده‌امام و به

الکترون میکروپریوب مورد تجزیه قرار گرفته‌اند و نتیجه تجزیه اکسیدهای مهم آنها در مقایسه با تجزیه‌های مشابه در سایر مناطق در جدول ۱ درج شده است. نتایج نشان می‌دهند که مقادیر اکسیدها در همه نمونه‌ها کمابیش مشابه می‌باشند. بنابر اصل پیداکرد، عقیده بر این است که اگر نسبت Si/Al در آنالسیم معادل ۲ و یا کمتر باشد آن آنالسیم دارای منشأ گرمابی است [۸]. در حالی که همین نسبت برای آنالسیم با منشأ رسوبی تردیدک به ۵ است. ۲.۵. Luhr and Kyser نیز معتقدند که تشکیل آنالسیم

جدول ۱ - درصد تجزیه شیمیایی آنالسیم مصنفه دوازده‌امام در مقایسه با انواع آنالسیم سایر مناطق و منابع

Mont St.Hilaire	DS	BP	KH	44	D27	کلید
۵۵ ۱۵	۵۵ ۲۵	۳۶ ۷	۵۶ ۸۷	۴۷ ۰۴	۵۶ ۵۱	SiO _۲
۲۳ ۱۶	۲۲ ۵۲	۲۲ ۴۹	۲۲ ۲۱	۲۰ ۲۲	۲۲ ۲۳	Al _۲ O _۳
۰ ۰۲	۰ ۰۲	۰ ۰۳	۰ ۰۲	۰ ۰۶	۰ ۰۰	Fe _۲ O _۳
۰ ۱۰	۰ ۰۳	۰ ۱۸	۰ ۰۰۲	۰ ۳۰	۰ ۰۱	CaO
۱۴ ۰۳	۱۳ ۰۲	۱۳ ۰۰	۱۳ ۰۳	۲۲ ۷۷	۱۰ ۸۰	Na _۲ O
۰ ۱۰	۰ ۰۰	۰ ۰۰۵	۰ ۱۶	۰ ۷۷	۰ ۰۰۱	K _۲ O
۹۲ ۵۱	۹۰ ۴۸	۹۰ ۰۱	۹۰ ۲۹	۹۲ ۳۷	۸۸ ۳۶	مجموع
۲ ۰۲	۲ ۰۹	۲ ۰۴	۲ ۰۴	۱ ۹۸	۱ ۹۹	Si/Al

مقادیر این جدول از داده‌های سناله محاسبه شده و برای مقایسه از ذکر مقادیر سایر کانیون‌های سامانه صرف نظر شده است.

- [۲۹] Luhr and Kyser (Bald Peak) ; BP
[۲۵] Line et al. (1995) Dippin Sill (1989) ; DS
[۴۲] (Wilkin and Barends 1998) Mont St.Hilaire
[۸] Alberti and Brigatti, 1985 : 44
[۲۹] Kilpatrick Hills : KH

جدول ۲ - درصد سحریه شیمیایی اسکلت‌های مصنفه دوازده‌امام به روش الکترون میکروپریوب در مقایسه با اسکلت‌های سناله

V	۶	۵	۴	۳	D27.4	D27.1	کلید
۴۲ ۲۲	۴۶ ۳۸	F1 ۳۰	۴۳ ۳۲	F2 ۹۱	۴۹ ۶۷	۴۶ ۹۸	SiO _۲
۲۲ ۵۵	۲۰ ۸۸	۲۱ ۹۶	۱۲ ۴۹	۱۲ ۵۲	۱۲ ۷۸	۱۳ ۸۶	Al _۲ O _۳
۲ ۲۳	F ۲۰	۲ ۲۸	۲۹ ۳۹	۹ ۷۵	۱۵ ۳۱	۱۷ ۴۲	Fe _۲ O _۳
۰ ۱۹	۰ ۳۶	۰ ۲۸	۰ ۰۰	۱ ۲۵	-	-	FeO
۰ ۱۰	۰ ۱۸	۰ ۲۵	-	۰ ۶۰	-	-	TiO _۳
۱ ۲۲	۱ F۳	۱ ۶۶	۱ ۲۲	۰ ۵۲	۰ ۹۸	۰ ۵۲	CaO
۱ ۲۳	۲ ۱۸	۰ ۶۳	۲ ۸۲	۱۰ ۷۸	۱۳ ۰۷	۱۹ ۶۵	MgO
-	۰ ۰۱	۰ ۰۰	-	۰ ۲۰	-	-	MnO
۰ ۱۰	-	۰ ۰۱	۰ F۱	۰ ۶۲	۰ ۰۸	۰ ۲۶	Na _۲ O
۰ ۲۰	۰ ۳۳	۰ ۳۵	۰ ۶۲	۲ ۰۳	۰ ۲۲	۰ ۱۷	K _۲ O
۸۰ ۱۰	۸۷ ۱۵	۸۰ ۲۶	۸۷ ۳۰	۸۲ ۲۲	۸۷ ۱۸	۸۸ ۹۷	مجموع

۱ و ۲ از منطقه دوازده‌امام، نمونه‌های ۳ تا ۷ از منطقه Coirons [۳۵] نمونه‌های ۴ و ۵ از نوع بادامکی و ۶ و ۷ حفره‌ای‌اند.



جدول ۳ - درصد تجزیه شیمیایی نموده سایر زئولیت‌های با ناترولیت سیاه که در مناسه با ناترولیت های سایر مناطق

کد نمونه	SiO ₄	MgO	Al ₂ O ₃	CaO	MnO	Na ₂ O	K ₂ O	SrO	Fe ₂ O ₃	حیله
۴۶۳۷	۴۵.۸۰	۴۶.۱۲	۴۶.۶۲	۴۷.۶۰	۴۷.۶۷	۴۷.۶۷	۴۷.۶۷	۴۷.۶۷	۴۷.۶۷	SiO ₄
۲۵۶۶	۴۶.۲۸	۴۶.۲۵	۴۷.۰۹	۴۶.۴۰	۴۶.۵۲	۴۶.۵۲	۴۶.۵۲	۴۶.۵۲	۴۶.۵۲	Al ₂ O ₃
n.d.	n.d.	n.d.	n.d.	n.d.	n.d.	n.d.	n.d.	n.d.	n.d.	Ti ₂ O ₃
n.d.	n.d.	n.d.	۱.۲۵	۰.۱۰	n.d.	n.d.	n.d.	n.d.	n.d.	CaO
n.d.	n.d.	n.d.	۰.۳۶	-	n.d.	n.d.	n.d.	n.d.	n.d.	MgO
۱۶۹۹	۱۵.۴۶	۱۵.۴۱	۱۵.۲۸	۱۵.۴۱	۱۵.۷۹	۱۵.۷۹	۱۵.۷۹	۱۵.۷۹	۱۵.۷۹	Na ₂ O
۰.۰۲	۰.۰۲	۰.۰۲	۰.۰۷	۰.۰۱	۰.۰۹	۰.۰۹	۰.۰۹	۰.۰۹	۰.۰۹	K ₂ O
۰.۰۵	۰.۰۵	۰.۰۵	-	۰.۰۲	-	-	-	-	-	SrO
۳.۸۱	۳.۶۸	۳.۶۵	۳.۶۳	۳.۸۳	۳.۷۶	۳.۷۶	۳.۷۶	۳.۷۶	۳.۷۶	Fe ₂ O ₃
۴۶۳۶	۴۷.۰۹	۴۷.۳۳	۴۷.۰۰	۴۹.۹۰	۴۹.۸۴	۴۹.۸۴	۴۹.۸۴	۴۹.۸۴	۴۹.۸۴	حیله

تعداد کاسنرها بر سهی زمینه مجموعی F-Al-Si-O

Si	Al	Ti ₂ O ₃	Ca	Mg	Na	K	Sr	Fe ₂ O ₃	Si-Al
۲۸.۴۹	۲۳.۸۶	۲۲.۹۶	۲۳.۷۳	۲۸.۱۷	۲۸.۲	۲۸.۲	۲۸.۲	۲۸.۲	۲۸.۲
۱۵.۷۱	۱۶.۱۴	۱۶.۰۶	۱۶.۲۷	۱۵.۸۰	۱۵.۸	۱۵.۸	۱۵.۸	۱۵.۸	۱۵.۸
-	-	-	۱.۳	۰.۰۶	n.d.	n.d.	n.d.	n.d.	n.d.
-	-	-	۰.۲۷	-	n.d.	n.d.	n.d.	n.d.	n.d.
۱۵.۲۲	۱۵.۶۲	۱۵.۵۱	۱۴.۱۲	۱۵.۱۸	۱۵.۵	۱۵.۵	۱۵.۵	۱۵.۵	۱۵.۵
۰.۰۱	۰.۰۱	۰.۰۱	۰.۰۵	۰.۰۱	۰.۰۶	۰.۰۶	۰.۰۶	۰.۰۶	۰.۰۶
۰.۰۲	۰.۰۱	۰.۰۱	-	۰.۰۱	-	-	-	-	-
۱۶.۵۳	۱۶.۶۲	۱۶.۴۹	۱۷.۴۲	۱۶.۶۸	۱۶.۸۲	۱۶.۸۲	۱۶.۸۲	۱۶.۸۲	۱۶.۸۲
۰.۰۶	+۱.۸۵	+۱.۸۵	+۰.۹۳	+۸.۳۰	+۲.۰۶	+۲.۰۶	+۲.۰۶	+۲.۰۶	+۲.۰۶
۱.۵۴	۱.۴۹	۱.۵۱	۱.۴۶	۱.۵۲	۱.۵۲	۱.۵۲	۱.۵۲	۱.۵۲	۱.۵۲

سیاه کوهه، ۱ - منطقه Schaffhausen، ۲ - منطقه Mont Saint-Léonard، ۳ و ۴ و ۵ به ترتیب ماضی Bound Brock، Magheramourne [۳۱] و Puy de Dome [۳۶]

گونه‌ها به علت بالابودن مقادیر آهن و مینزیوم در آنها به اسکیتیت‌های Fe-Mg معروفند [۲۵]. سایر گونه‌های مندرج در این جدول، اسکیتیت‌های Al نماینده می‌شوند. نحوه تشکیل اسکیتیت‌های سطخی دوازده‌اهم در پادامکها و رنگهای از تفاوت تشکیل نسبت به زئولیت‌ها و لایه‌ای بودن و رنگشان شبیه به انواع اسکیتیت مصفته Goble می‌باشد. چنین ترتیبی از تشکیل اسکیتیت و زئولیت، به گرمابی بودن آنها نسبت داده شده است [۲۲]؛ از سوی دیگر شباهت ترکیب شیمیایی اسکیتیت‌ها با گونه‌هایی از اسکیتیت ذکر شده در مقاله Robert و همکاران [۳۵] و گرمابی بودن گونه‌های اخیر، به نظر می‌رسد که

مقداری اندک در کوهه اراده، که پیش از زئولیت‌ها تشکیل شده است، به رنگهای سیز روشن تا سیز تیره به صورت نوارهای راه راه یافت می‌شود. تجزیه دو نوع اسکیتیت پادامکی کوهه دوازده‌اهم به روش الکترون میکروپریوب به موادرات تجزیه تعدادی دیگر از اسکیتیت‌های پادامکی گرمابی سایر مناطق در جدول ۲ آورده شده است. مقداری تعیین شده سدیوم به روش الکترون میکروپریوب بسیار اندکد، لذا ریزش [۲۵] سدیوم در تجزیه به روش الکترون میکروپریوب تغییر چندانی در نتیجه تجزیه ایجاد نمی‌کند.

دو گونه اسکیتیت تجزیه شده کوهه دوازده‌اهم به لحاظ شیمیایی به همدیگر شبیه‌اند و دارای مقادیر Mg و Fe بالایی بوده و به گونه‌های ۳ و ۴ (جدول ۲) شباهت بیشتری دارند. این



جدول ۴- درصد تجزیه شیمیایی سنگهای زئولیت‌های کوههای اراده، دوازده‌امام و سیاه‌کوه

کبد	SiO ₄	Al ₂ O ₃	Ti ₂ O ₃	C ₂ O	MgO	TiO ₄	P ₂ O ₅	Na ₂ O	K ₂ O	Li ₂ O	S ₂
۷۹	۵۷	۷	D29	D20	D2	S2					
۴۰.۱۰	۴۶.۱۶	۴۹.۳۸	۴۶.۹۲	۳۱.۷۲	۴۹.۵۶	۴۹.۴۹					
۲۲.۰۰	۱۹.۷۱	۱۸.۵۳	۹.۸۷	۱۸.۹۳	۱۸.۴۴	۱۶.۴۵					
۷.۴۷	۹.۹۲	۱۳.۹۳	۱۷.۲۰	۴.۳۳	۱۰.۷۰	۸.۲۷					
۹.۷۰	۷.۲۲	۲.۴۳	۶.۷۷	۲.۶۵	۲.۲۶	۲.۶۸					
۴.۵۰	۳.۲۹	۴.۴۸	۳.۳۰	۴.۸۶	۴.۴۱	۳.۷۸					
۰.۸۳	۱.۱۰	۱.۱۸	۱.۰۸	۰.۶۲	۰.۹۸	۰.۹۴					
۰.۲۶	۰.۱۰	۰.۶۲	۰.۴۳	۰.۳۶	۰.۹۸	۰.۴۰					
۰.۱۸	۰.۱۷	۰.۱۸	۰.۱۳	۰.۰۹	۰.۲۷	۰.۱۱					
۳.۰۰	۳.۴۲	۳.۳۹	۴.۱۷	۷.۹۷	۴.۳۸	۲.۵۰					
۰.۵۱	۲.۲۶	۲.۲۱	۲.۴۰	۲.۸۳	۱.۵۹	۳.۲۵					
-	-	-	۰.۰۳	۰.۰۴	۰.۰۳	۰.۰۵					
۴.۱۰	۵.۰۲	F ۷۶	۴.۶۲	۶.۳۴	۶.۱۷	۷.۰۴					
۹۸.۵۲	۹۹.۵۱	۹۹.۰۴	۹۹.۲۰	۹۹.۱۵	۹۹.۴۷	۹۹.۰۴					

S₂: سیاه‌کوه، D20: دوازده‌امام، ۷ و ۵۷ و ۶۹: کوههای اراده، (بازارگانی گیلانی و ربانی در دست پنهان).

دوازده‌امام و سیاه‌کوه حاصل از بررسی حاضر در کنار داده‌های مربوط به تجزیه شیمیایی سنگهای زئولیت دارکوه اراده توسط نویسنده‌گان، در جدول ۴ درج شده است. بر مبنای تقسیم‌بندی Le Bas و همکاران [۲۴] سنگهای تجزیه شده سیاه‌کوه تراکی اندریت، دوازده‌امام تراکی بازالت، تفری فولیت و بازالتیک تراکی اندریت و تراکی اندریت و کوههای اراده بازالتیک تراکی اندریت، تراکی بازالت و بازالت می‌باشد.

بحث و نتیجه‌گیری

سنگهای میزان و زمین‌شناسی سه منطقه مورد مطالعه کمابیش به خمیدیگر شیوه‌اند. زئولیتهای موجود در این مناطق عمده‌تر از نوع حفره‌ای، بادامکی و رگه‌ای هستند. در میان این زئولیتهای حفره‌ای وجود زئولیتهای رشتهدی مانند ناترولیت، به عنوان کالیبهای حفره‌ای بسیار رایج تر از کالیبهای ترازایشی^[۱۴] می‌باشدند و داده‌های مربوط به تجزیه و تحلیل شیمیایی اسکلتیت و آزالیسم، آنها را از کالیبهای رسوبی تمایز می‌سازد [۸]. از طرف دیگر وجود بلورهای درشت یا باریک و بلند زئولیتی، وجود جاشینی بلورهای درشت پلاچیوکلاز^[۱۵] به وسیله زئولیت،

۱۴- (diagenetic) diogenesis

۱۵- plagioclase

اسکلت‌های منصفه دوازده‌امام نیز گزارشی باشد. تجزیه شیمیایی یکی از نمونه‌های ناترولیت خالص منصفه سیاه‌کوه به روش مرتبط، که برای نخستین بار از ایران گزارش می‌شود، در مقایسه با ناترولیت‌های سایر مناطق در جدول ۳ درج شده است. بر مبنای درصد خطای محاسبه شده [۱۷] درصد خطای ناترولیت رقم ۶، بدست آمده که در ردیف خطای مجاز، یعنی کمتر از ۱۰ است. ناترولیت تجزیه شده به لحاظ نسبت Si/Al، با عدد ۱/۵۳ در محدوده معمول؛ از ۱/۴ تا ۱/۸^[۱۲]. فاقد Ca و حاوی K به مقدار بسیار اندک می‌باشد. تجزیه شیمیایی ناترولیت منصفه سیاه‌کوه بر مبنای ۸۰ اتم اکسیژن به صورت $(\text{Na}_{18.8}\text{O}_{50.16}\text{Al}_{18.8}\text{Si}_{24.20}\text{Ca}_{0.04})_{2}$ است.

۳-۳- تجزیه شیمیایی سنگهای میزان زئولیت در مناطق مورد بررسی

چون تشکیل زئولیت‌ها به نوع سگ میزان وابسته است، برای تشخیص نوع آنها تعداد شاخصی از سنگهای میزان مورد تجزیه و شناسائی قرار گرفته است. به لحاظ آشنازی با سابقه امر می‌توان به تجزیه شیمیایی سنگهای آتشنشانی سه منطقه ارائه شده به تجزیه حسینی [۱۶] و بسیار پیش‌بینی [۲] مراجعه کرد. تجزیه شیمیایی چهارسگ میزان زئولیتی از منصفه‌های

آغازین، مناسب نسبت داد. بر عکس در منطقه سیاه کوه کاهش مقدار زئولیت و کاهش تنوع آن را می‌توان کمبود مایع گرمابی و به تبع آن سرد شدن سریعتر این مایع دانست که منجر به از دست رفتن فرصت تشکیل زئولیتهاي دمای پایین شده است.

۴- تشکر و قدردانی

نویسنده‌گان مراتب تشکر و قدردانی خود را از سازمان زمین‌شناسی کشور به جهت همکاری در تجزیه شیمیایی نمونه‌ها و تهیه طیف‌های XRD و SEM، از سازمان حفاظت محیط زیست به سبب موافقت در مطالعه زمین شناختی مناطق حفاظت شده، از همکاران گروه زمین‌شناسی دانشکده علوم دانشگاه تهران برای تهیه مقاطع صیقلی و نازک نمونه‌ها و همچنین از معاونت محترم پژوهشی دانشگاه تهران به جهت حمایت‌های مالی، صمیمانه اعلام می‌نمایند.

انباشت زئولیتها در رگ‌ها و بدامکها، وجود تراناترولیت، فراوانی اسمکتیت تشکیل زئولیتها را از طریق واکنشهای گرمابی تایید می‌کند.

با توجه به اینکه تشکیل زئولیتهاي مانند آنالسیم و ناترولیت در دمای نسبتاً بالایی صورت می‌گیرد [۱۲، ۱۵، ۲۶] و این گونه‌ها در هر سه منطقه مورد مطالعه یافت شده‌اند می‌توان پی برداشته است. از سوی دیگر، با توجه به میزان فراوانی متفاوت زئولیتها در این مناطق می‌توان نتیجه گرفت که مقدار مایع گرمابی احتمالاً به علت خاصیت نفوذپذیری متفاوت بستر مسیر مایع در همه جایگاهان نبوده است. تفاوت در مقدار مایع گرمابی طبیعاً در سرعت سرد شدن آنها مؤثر بوده است. به این جهت تنوع و فراوانی بیشتر زئولیتها در منطقه‌های اراده و تاحدودی دوازدهام را می‌توان به فراوانی مقدار مایع گرمابی و در عین حال به وجود گستره حرارتی مناسب برای تشکیل زئولیتها و فراهم بودن مواد

References

- ۱- محمد‌حاشم امامی، "شرح نقشه زمین‌شناسی (شماره E6) چهارگوش قم"، مقیاس ۱:۲۵۰۰۰، انتشارات سازمان زمین‌شناسی کشور، صفحه ۱۷۹ (۱۳۷۰).
- ۲- کمال الدین بازرگانی، محمدصادق ربانی، "زئولیت‌زایی اندریتهاي جنوب کهریزک" ، نشریه علمی سازمان انرژی اتمی ایران، شماره ۱۵، صفحات ۶۳-۷۷ (۱۳۷۶).
- ۳- علی بنی طاء بیدگلی، "مطالعه پتروگرافی و پترولوزی و ژئوشیمی مجموعه آتشفشاری منطقه سیاه کوه (شمال شرق دریاچه نمک)"، پایان‌نامه کارشناسی ارشد دانشگاه تربیت معلم تهران، (۱۳۶۸).
- ۴- م. حجازی، م. قربانی، سازمان زمین‌شناسی ایران، "بنویت زئولیت" ، ۱۵، الف. ۲۰، (۱۳۷۳).
- ۵- مهدی حسینی، پتروگرافی، "پترولوزی و ژئوشیمی مجموعه آتشفشاری منطقه دوازدهام (شمال دریاچه نمک)" ، پایان‌نامه کارشناسی ارشد دانشگاه تربیت معلم تهران، (۱۳۶۷).
- ۶- محمد‌حسین رضوی، "بررسی کانسال منگنز محمد‌آباد و سنگهای اطراف آن (جنوب تهران - منطقه حسن‌آباد)" ، پایان‌نامه کارشناسی ارشد، دانشگاه تهران، دانشکده علوم، ۱۳۵۲ صفحه، (۱۳۶۷).
- ۷- حسین معین وزیری، "دبیچهای بر ماغماتیسم در ایران" ، انتشارات دانشگاه تربیت معلم (۱۲۰)، ۴۴۰ صفحه، (۱۳۷۵).



8. A. Alberti and M.F. Brigatti, "Dependence of chemistry on genesis in zeolites: multivariate analysis of variance and discriminant analysis," *Amer. Miner.* 70, 805-813 (1985).
9. A. Alberti, G. Hentschel and G. Vezzalini, "Amicite, a new zeolite," *N. Jb. Miner. Mh.* H.11, 481-488 (1979).
- 10.J.C. Alt, J. Honnorez, Ch. Laverne and R. Emmermann, "Hydrothermal alteration of a 1 Km section through the upper oceanic crust," deep sea drilling progeete Hole 5048 B: "Mineralogy: chemistry, and evolution of seawater-basalt interaction", *J. Geoph. Research.* 91, 10, 309-10, 335 (1986).
- 11.V. Betz, "Zeolites from iceland and the Faeroes," *Miner. Record.* 5-29 (1981).
- 12.R.C. Boggs, D.G. Howard, J.V. Smith and G.L. Klein, "Tschernichite, a new zeolite from Goble, Columbia County, Oregon," *Amer. Miner.* 78, 822-826 (1993).
- 13.D.W. Breck, "Zeolite molecular sieves. Krieger publishing company," Malabar, Florida; 771 pp (1974).
- 14.P. Comin-Chiaromonti, D. Pongiluppi and G. Vezzalini, "Zeolites in shoshonitic volcanics of the north eastern Azerbaijan (Iran)," *Bull. Miner.* 102, 386-390 (1979).
- 15.E. Galli and G. Loschi Ghittoni, "The crystal chemistry of phillipsites," *Amer. Miner.* 57, 1125-1145 (1972).
- 16.G. Gottardi, "The genesis of zeolites," *Eur. J. Mineral.* 1, 479-487 (1989).
- 17.G. Gottardi abd E. Galli, "Natural zeolites, Springer; Berlin, Heidelberg, New York, Tokyo," 409 pp (1985).
- 18.M. Groben, "Natrolite and Analcime from Eckman Creek Quarry, Waldport, Oregon," *Miner. Record,* 153, 173, 176, 178 (1971).
- 19.J. Hajian, "Geological reconnaissance on a trip in the southern sector of Tehran quadrangle map," Geological Survey of Iran, 14 pp; (internal report), (1972).
- 20.K. Harada, Sh. Iwamoto and K. Kihara, "Erionite, phillipsite and gonnardite in the amygdales of altered basalt from Maze Niigata Perfecture, Japan," *Amer. Miner.* 52, 1785-1794 (1967).
- 21.G. Hentschel and R. Vollrath, "Die Zeolithe im Basalt von Ober-Widdersheim, Vogelsberg," *Aufschluß*, 28, 409-412 (1977).
- 22.D.G. Howard, R.W. Tschernich, J.V. Smith and G.L. Klein, "Boggsite, a new high-silica zeolite from Goble, Columbia County, Oregon," *Amer. Mineral.* 75, 1200-1204 (1990).
- 23.W.B. Kamb and W.C. Oke, "Paulingite, a new zeolite, in association with erionite and filistrome pyrite", *Amer. Miner.* 45, 79-91 (1960).
- 24.M.J. Le Bas, R.W. Lemaitre, A. Streckeisen and B. Zanettin, "A chemical classification of volcanic rocks based on total alkali-silica diagram," *J. Petrology*, 27, 745-750 (1986).
- 25.Ch.M.B. Line, A. Putins, Ch. Putins and C. Giampaolo, "The dehydration kinetics and microtexture of analcime from two parageneses," *Amer Miner.* 80, 268-279 (1995).
- 26.J.G. Liou, "Stilbite-Laumontite Equilibrium," *Contr. Mineral and Petrol.* 31, 171-177 (1971).
- 27.J.G. Liou, "Zeolite facies metamorphism of basaltic rocks from the East Taiwan Ophiolite," *Amer. Miner.* 64, 1-14 (1979).



- 28.A. Livingstone, "Reyerite, tobermorite, calcian analcime and bytownite from amygdales in a Skye basalt," Miner. Mag. 52, 711-713 (1988).
- 29.J.F. Luhr and T.K. Kyser, "Primary igneous analcime: The Colima minettes," Amer. Miner. 74, 216-223 (1989).
- 30.U. Müller and H. Deisinger, "Strontium-Thomsonit aus dem Roßbergbasalt von Roßdorf bei Darmstadt," Aufschluß, 22, 145-148 (1971).
- 31.R. Nawaz, "Gonnadite and disordered natrolite-group minerals; their distinction and relations with mesolite, natrolite and thomsonite," Miner. Mag. 52, 207-219 (1988).
- 32.D. Pongiluppi, "A new occurrence of yugawaralite at Osilo, Sardinia," Canad. Miner. 15, 113-114 (1977).
- 33.H. Rieben, "The geology of Tehran plain," Amer Jour. Sci. 253, 617-639 (1955).
- 34.Ch. Robert and B. Goffé, "Zeolitization of basalts in subaqueous freshwater settings: Field observation and experimental study," Geochimica et Cosmochimica Acta 57, 3597-3612 (1993).
- 35.Ch. Robert, B. Goffé and P. Saliot, "Zeolitisation of a basaltic flow in a continental environment: An example of mass transfer under thermal control," Bull. Minéral. 111, 207-223 (1988).
- 36.M. Ross, M.J.K. Flohr and D.R. Ross, "Crystalline solution series and order-disorder within the natrolite mineral group," Amer. Miner. 77, 685-703 (1992).
- 37.T. Sameshima, "Ferrierite from Tapu, Coromandel Peninsula, New Zealand, and a crystal chemical study of known occurrences," Miner. Mag. 50, 63-68 (1986).
- 38.L.W. Staples, "Origin of spheroidal clusters of analcime from Benton County, Oregon," Amer. Miner. 31, 574-581 (1946).
- 39.L.W. Staples, "X-ray investigation of ferrierite, a zeolite," Amer. Miner. 40, 1095-1099 (1955).
- 40.R.N. Sukheswala, R.K. Avasia and M. Gangopadhyay, "Zeolites and associated secondary minerals in the Deccan Traps of western India," Miner. Mag. 39, 658-671 (1974).
- 41.G.P.L. Walker, "The amygdale minerals in the Tertiary lava of Ireland. I. The distribution of chabazite habits and zeolites in the Garron plateau area, County Antrim," Miner. Mag. 29, 773-791 (1951).
- 42.R.T. Wilkin and H.L. Barnes, "Solubility and stability of zeolites in aqueous solution: I. Analcime, Na-, and K-clinoptilolite," Amer. Miner. 83, 746-761 (1998).
- 43.J.S. White, "Levyne-offretite from Beech Creek, Oregon," Miner. Record 6, 171-173 (1975).
- 44.W.S. Wise and R.W. Tscherlich, "Cowlesite, a new Ca-zeolite," Amer. Miner. 60, 951-956 (1975).
- 45.W.S. Wise, W.J. Nokleberg and M. Kokinos, "Clinoptilolite and ferrierite from Agoura, California," Amer. Miner. 54, 887-895 (1969).
- 46.E.J. Zirkel, "Ferrierit im Basalt von Weitendorf, Steiermark: Austria," Neues Jahrb. Miner. Monatsh. 11, 524-528 (1973).